

関西大学工学部 正会員 三上市蔵  
関西大学大学院 学生員。三浦泰夫

1. まえがき 従来、座屈解析は固有値問題として静力学的に行われてきた。一方、著者の研究室では、計算機プログラムを簡単に作成できる連続系シミュレーション言語を用いて、振動問題や伝導問題と解き、Dynamic Relaxation法やViscous Relaxation法への適用を検討し、また、塔の振動解析を行った。<sup>1)2)</sup>ここでは、動的判定法に基づく座屈解析に連続系シミュレーション言語を適用することを試みた。

2. 解析法 シミュレーション言語を用いて、種々の荷重に対する自由振動解析を行い、荷重Pと周期Tの関係を求める。座屈の動的判定法に基づくと、<sup>3)4)</sup>T=∞に対する荷重が座屈荷重P<sub>cr</sub><sup>5)</sup>である。一方、外挿法を採用し、次のPとTの関係式を假定する。

$$P = P_{cr} + C_1/T + C_2/T^2 + \dots \quad (1)$$

3項<sup>2)3)</sup>を打ち切り、3組のP<sub>cr</sub>とT<sub>cr</sub>に対しても連立方程式を解くと、P<sub>cr</sub>が次のように求まる。

$$P_{cr} = \frac{P_1(1/T_3 - 1/T_2)/T_2 T_3 + P_2(1/T_1 - 1/T_3)/T_3 T_1 + P_3(1/T_2 - 1/T_1)/T_2 T_1}{(1/T_3 - 1/T_2)/T_2 T_3 + (1/T_1 - 1/T_3)/T_3 T_1 + (1/T_2 - 1/T_1)/T_2 T_1} \quad (2)$$

3. 解析モデル 本解析法の妥当性を調べるために、3種のモデルを用いてみる。

(1) 等断面柱 図-1に示す両端単純支持され圧縮力Pを受けける等断面柱を解く。基礎方程式は次のようになる。

$$-\partial M / \partial x^2 - N \partial^2 w / \partial x^2 + m \partial^2 w / \partial t^2 = 0 \quad (3)$$

$$M = -EI \partial^2 w / \partial x^2 \quad (4)$$

ここでwはZ方向のたわみ、Mは曲げモーメント、Nは軸力、EIは曲げ剛さ、mは単位長さ当たりの質量であり、N=-Pとみなす。

(2) 変断面柱 図-2に示す断面が急変する片持柱を考える。

基礎方程式は(1)と同じであるが、基礎方程式が断面変化点に適用される場合、断面2次モーメントを次のいずれかを用いて換算する。<sup>8)</sup>

$$I = (I_a + I_b) / 2 \quad (5)$$

$$I = 2 I_a \cdot I_b / (I_a + I_b) \quad (6)$$

(3) 骨組 骨組構造のモデルとして図-3に示す門形ラーメンを考える。基礎方程式は、各部材に対して式(3)、(4)と次の2式である。

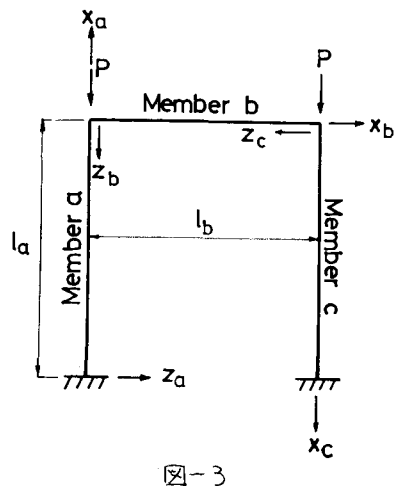
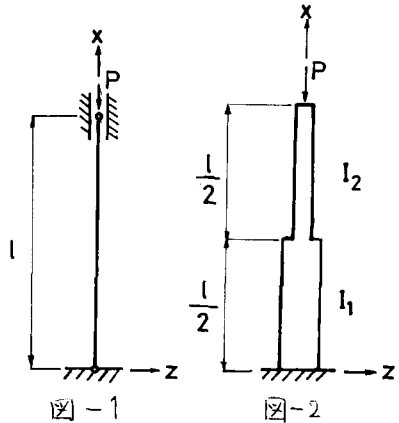
$$-\partial N / \partial x + (\partial M / \partial x)(\partial^2 w / \partial x^2) + m \partial^2 u / \partial t^2 = 0 \quad (7)$$

$$N = EA \partial u / \partial x \quad (8)$$

ここに、EAは伸び剛さ、uはx方向の変位である。また、部材aと部材bとの剛接点における連続条件式は次のようになる。

$$\left. \begin{aligned} P - Na - \partial Ma / \partial x_a &= 0 \\ Na - \partial Ma / \partial x_a - P \partial w_a / \partial x_a &= 0, \quad Ma = M_a \end{aligned} \right\} \quad (9)$$

$$\left. \begin{aligned} \partial w_a / \partial x_a &= \partial w_b / \partial x_a \\ w_a &= u_b, \quad u_a = -w_b \end{aligned} \right\} \quad (10)$$



#### 4. 数値計算結果

各解析モデルにおける基礎方程式、境界条件式、連続条件式を無次元化したのち、場に関する差分表示し、シミュレーション言語と用い、プログラムを作成し、数値計算を行った。

(1) 等断面柱 シミュレーション解と式(2)の解

解析を比較すると、荷重  $P'$  と周期  $T'$  の関係は図-4のようになる。ただし、

$$P' = P \cdot l^2 / EI$$

$$T' = T \sqrt{EI/mc^2}$$

$n_x$  は分割数である。  
各分割数における式(2)から  $P_{cr}$  を外挿し、厳密解と比較すると図-5が得られる。 $n_x=16$  における外挿値の誤差は 0.32% であり十分満足できる。

(2) 変断面柱 差分点が断面変化点に位置し、式(5)または式(6)を用いた場合について、荷重と周期の関係を調べた。結果の一例を図-6に示す。

式(2)による外挿値を静的解と比較すると図-7のようになる。式(5)を用いた場合良い精度が得られることがわかる。

(3) 骨組 2 次振動モードが発生するように初期条件を与えた。図-8は荷重と周期の関係を表したもので式(2)によろ外挿値を静的解と比較すると図-9のようになる。 $n_x=16$  における外挿値の誤差は 0.76% である。

#### 参考文献

- 1) 三上・他、土木学会関西支部年講、1979. 2) Mikami, I., et al., Tech. Rep. of Kansai Univ., No. 24, 1983.
- 3) 三上・他、土木学会年講、1983. 4) Mikami, I., Theo. and Appl. Mech., Univ. of Tokyo Press, Vol. 32, 1984.
- 5) 三上・他、土木学会関西支部年講、1984. 6) Ziegler, H.: 構造安定の原理、培風館。
- 7) Mikami, I., Theo. and Appl. Mech., Univ. of Tokyo Press, Vol. 25, 1977. 8) Iremonger, M.J., Comp. & Stru., Vol. 12, No. 5, 1980.
- 9) 土木学会編：構造力学公式集、技報堂. 10) Timoshenko, S.P. and Gere, J.M. Theory of Elastic Stability, 2nd ed., McGraw-Hill, 1961.

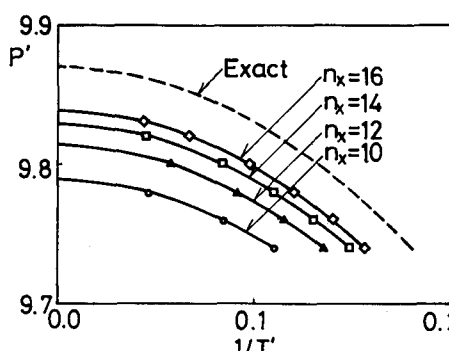


図-4

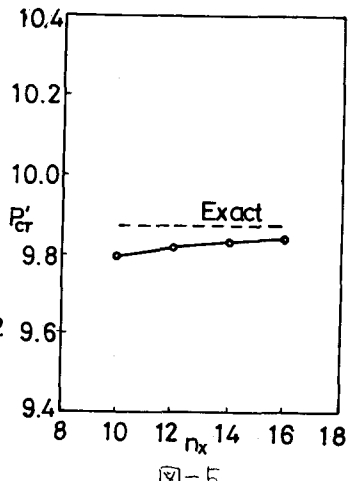


図-5

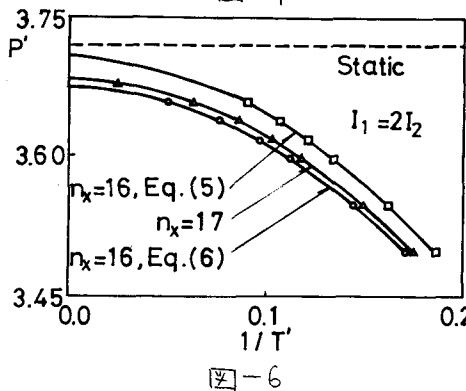


図-6

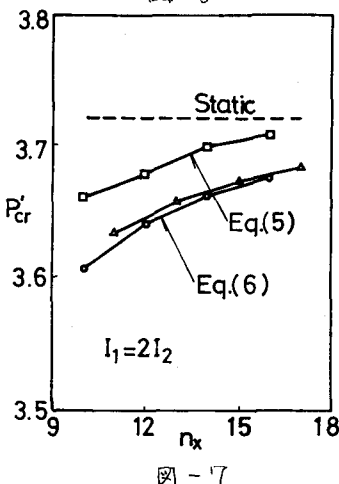


図-7

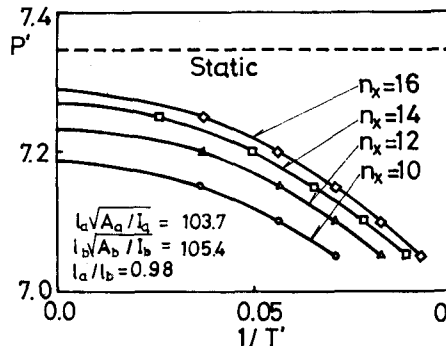


図-8

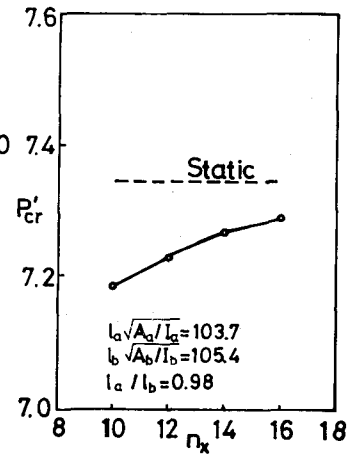


図-9